

03

## Эффекты вырожденной дифракции света на периодической доменной структуре в 1% MgO:LiTaO<sub>3</sub> в температурном диапазоне 30–110°C

© А.В. Дубиков<sup>1</sup>, Е.Н. Савченков<sup>1</sup>, Д.Е. Бельская<sup>1</sup>, С.М. Шандаров<sup>1</sup>, Н.И. Бурымов<sup>1</sup>, С.В. Смирнов<sup>1</sup>,  
А.Р. Ахматханов<sup>2</sup>, М.А. Чувакова<sup>2</sup>, В.Я. Шур<sup>2</sup>

<sup>1</sup>Томский государственный университет систем управления и радиоэлектроники,  
Томск, Россия

<sup>2</sup>Уральский федеральный университет,  
Екатеринбург, Россия

e-mail: rossler@mail.ru

Поступила в редакцию 13.05.2024 г.

В окончательной редакции 06.06.2024 г.

Принята к публикации 13.06.2024 г.

Впервые при температурах ниже и выше изотропной точки в стехиометрическом кристалле 1% MgO:LiTaO<sub>3</sub> наблюдались эффекты вырожденной анизотропной дифракции на сформированной в нем периодической регулярной доменной структуре (РДС) с ненаклонными стенками Y-типа, для зондирующего пучка с длиной волны  $\lambda = 632.8$  nm. Использование экспериментально измеренных максимальных значений эффективности для процессов вырожденной дифракции двукратного типа при необыкновенном и обыкновенном зондирующих пучках позволило получить оценку  $|f_{1132} + f_{3131}| \approx 18$  V для компонент тензора флексоэлектрической связи исследованного образца танталата лития. Из анализа экспериментальных температурных зависимостей для мощности прошедшего через кристалл 1% MgO:LiTaO<sub>3</sub> и скрещенный анализатор зондирующего пучка с вектором поляризации, ориентированным под углом 45° к оси Z, определена температура изотропной точки  $T_i = 69.31^\circ\text{C}$  и аппроксимированы температурные зависимости двулучепреломления  $\delta n(T)$  в диапазоне от 30 до 110°C.

**Ключевые слова:** танталат лития, вырожденная дифракция, изотропная точка, флексоэлектрический коэффициент.

DOI: 10.61011/OS.2024.07.58899.6267-24

Регулярные доменные структуры (РДС) периодического, аperiodического и веерного типов рассматриваются и экспериментально исследуются в настоящее время как элементы, позволяющие реализовать разнообразные эффекты нелинейно-оптических преобразований лазерного излучения [1–10] и электрооптического управления его параметрами [1,5,6,11,12]. Привлекательным материалом для создания РДС является легированный оксидом магния одноосный сегнетоэлектрический кристалл танталата лития стехиометрического состава (1% MgO:LiTaO<sub>3</sub>), с областью прозрачности от 0.26 до  $\sim 5.5$   $\mu\text{m}$  [1]. Следует отметить, что вариации пространственного периода РДС по ее длине от заданного значения, определяемого условиями квазисинхронизма, не должны превышать 20 nm [13]. Для подстройки под условия квазисинхронизма используется температурная стабилизация элемента с РДС, с точностью  $\pm 0.05^\circ\text{C}$  [2]. При этом рабочая температура  $T$  может изменяться в диапазоне от комнатной до 100°C [10], в котором для нелегированного танталата лития находится изотропная точка с нулевым значением двулучепреломления  $\delta n(T) = n_e(T) - n_o(T)$  на длине волны  $\lambda = 632.8$  nm [14]. Однако для стехиометрического кристалла 1% MgO:LiTaO<sub>3</sub> имеющиеся в литературе урав-

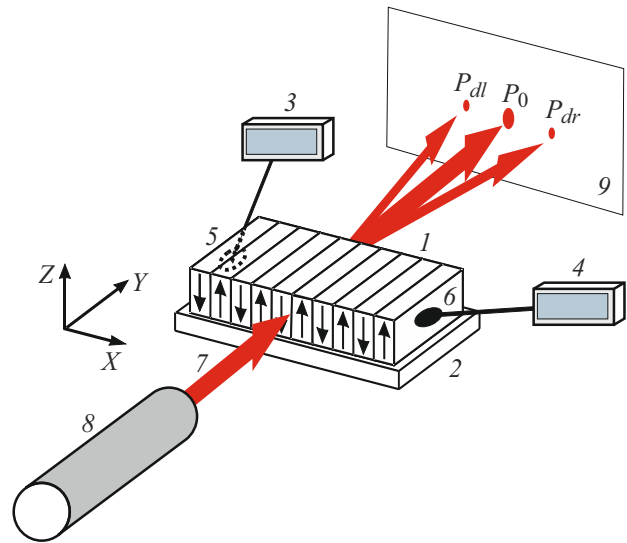
нения Зелмейера, описывающие одновременно температурные и спектральные зависимости для обыкновенного ( $n_o(\lambda, T)$ ) [15] и необыкновенного ( $n_e(\lambda, T)$ ) [15–17] показателей преломления, слабо согласуются между собой.

Эффективным неразрушающим методом контроля качества периодически поляризованных структур является брэгговская дифракция лазерных пучков на возмущениях оптических свойств сегнетоэлектрического кристалла, создаваемых доменными стенками [18–23]. Механизмы этих возмущений для незаряженных стенок связаны с изменениями в их пределах спонтанной поляризации и с индуцированными при этом упругими деформациями вследствие электрострикции и обратного флексоэлектрического эффекта. Для кристаллов класса симметрии  $3m$ , к которому относятся ниобат лития (LN) и танталат лития (LT), с использованием известной модели доменной стенки [24] и разложения свободной энергии Гельмгольца для сегнетоэлектрика с фазовым переходом второго рода, принимающего во внимание вклад в нее флексоэлектрического эффекта [25], распределения компонент тензора упругих деформаций  $S_{kl}^{YZ}(x)$  и  $S_{kl}^{XZ}(y)$  для стенок Y- и X-типа соответственно были получены в [26] в аналитиче-

ском виде. Для РДС с  $Y$ -стенками наличие отличных от нуля компонент  $S_{13}^{YZ}(x) = S_{31}^{YZ}(x)$  и  $S_{23}^{YZ}(x) = S_{32}^{YZ}(x)$ , обусловленных соответственно обратным флексоэлектрическим эффектом и электрострикцией, как отмечалось в [26] и ранее в [27], вследствие упругооптического эффекта вызывает возмущения оптических свойств, позволяющие реализовать анизотропную дифракцию Брэгга при распространении взаимодействующих обыкновенных и необыкновенных световых волн в плоскости  $XY$  кристалла. Экспериментально такая анизотропная дифракция на РДС наблюдалась при комнатной температуре как в  $5\% \text{MgO}:\text{LiNbO}_3$  [19,20,22], так и в  $1\% \text{MgO}:\text{LiTaO}_3$  [22,23]. Условия Брэгга для анизотропной дифракции на РДС в кристалле  $1\% \text{MgO}:\text{LiTaO}_3$ , которая в первом порядке наблюдается при малых углах между зондирующим пучком и осью  $Y$  [22], определяются зависящей от температуры разностью квадратов показателей преломления  $n_o^2(T) - n_e^2(T)$ , а ее эффективность — компонентами диэлектрического тензора  $\Delta\epsilon_{13}(x) = \Delta\epsilon_{31}(x)$ , связанными со значениями компонент тензора флексоэлектрической связи  $f_{1132}$  и  $f_{3131}$  [26,27].

Анизотропная дифракция Брэгга в кристаллах с линейным двулучепреломлением широко применяется в акустооптических устройствах управления световым излучением и хорошо изучена [28,29]. В определенных условиях в таких кристаллах наблюдается дифракция света на монохроматических акустических волнах, при которой помимо нулевого возникают два или даже три дифракционных максимума [28–31]. Она является вырожденной по условию Брэгга [30], т.е. по волновому вектору акустических волн. При двух возникающих дифракционных максимумах, соответствующих одновременному выполнению для них условий Брэгга, такую дифракцию принято называть двукратной [28,31]. В настоящей работе впервые исследовалась двукратная вырожденная по вектору решетки РДС анизотропная брэгговская дифракция лазерного излучения с длиной волны  $\lambda = 632.8 \text{ nm}$ . Для РДС с ненаклонными стенками  $Y$ -типа с пространственным периодом  $\Lambda = 7.99 \mu\text{m}$ , сформированной в стехиометрическом кристалле  $1\% \text{MgO}:\text{LiTaO}_3$ , реализация дифракции данного типа в температурном диапазоне от  $30$  до  $110^\circ\text{C}$ , содержащем изотропную точку при температуре  $T_i = 69.31^\circ\text{C}$ , позволила аппроксимировать для него температурные зависимости показателей преломления  $n_e(T)$  и  $n_o(T)$ , а также провести оценку возможных значений компонент тензора флексоэлектрической связи  $f_{1132}$  и  $f_{3131}$ .

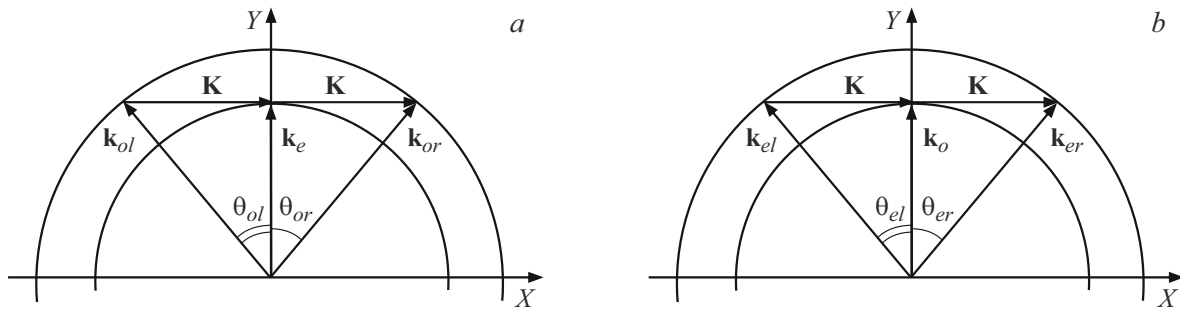
В экспериментах исследовалась РДС, созданная в ООО „Лабфер“ методом переполаризации в пространственно-периодическом электрическом поле [32] в стехиометрическом кристалле  $1\% \text{MgO}:\text{LiTaO}_3$  с размерами  $6.0 \times 1.9 \times 1.0 \text{ mm}^3$  вдоль осей  $X$ ,  $Y$  и  $Z$  соответственно. Из результатов наблюдения изотропной и анизотропной дифракции Брэгга и исследования угловой селективности [22,23] было получено, что РДС имеет



**Рис. 1.** Схема экспериментальной установки: 1 — кристалл  $1\% \text{MgO}:\text{LiTaO}_3$  с РДС с периодом  $7.99 \mu\text{m}$ ; 2 — элемент Пельтье; 3 и 4 — индикаторы температуры; 5 и 6 — датчики температуры; 7 — зондирующий лазерный пучок; 8 — He–Ne-лазер; 9 — экран.

ненаклонные доменные стенки  $Y$ -типа, разделяющие исходные и переполаризованные области кристалла, образующие объемную дифракционную решетку с пространственным периодом  $\Lambda = 7.99 \mu\text{m}$  и эффективным размером  $d_{ef} = 1.85 \text{ mm}$  вдоль оси  $Y$ . По оптическим изображениям граней образца  $Z^+$  и  $Z^-$ , полученным с использованием микроскопа „Биолан“, было установлено, что в среднем размеры исходных и переполаризованных областей РДС,  $h_i$  и  $h_p = \Lambda - h_i$  соответственно отличаются друг от друга на величину  $\Delta \approx 0.19\Lambda$ .

Для реализации температурного диапазона измерений от  $10$  до  $110^\circ\text{C}$  в экспериментальной установке, схематично иллюстрируемой рис. 1, образец с РДС 1 размещался на элементе Пельтье 2, управление током которого осуществлялось с использованием стабилизированного источника постоянного напряжения. Температура образца контролировалась с дискретностью  $0.04^\circ\text{C}$  по показаниям цифровых индикаторов 3 и 4 от двух полупроводниковых термодатчиков 5 и 6, контактирующих с  $X$ -гранями кристалла, и вычислялась как среднее значение в каждый момент времени. Элемент Пельтье 2 с исследуемым образцом 1 крепился на прецизионном поворотном столике, позволяющем изменять угловое положение РДС относительно зондирующего лазерного пучка 7 от He–Ne-лазера 8 с длиной волны  $\lambda = 632.8 \text{ nm}$  и фиксировать его с точностью до одной угловой минуты. Зондирующий пучок формировался в различных экспериментах с использованием сферической или цилиндрической линз с фокусными расстояниями  $250$  и  $350 \text{ mm}$  соответственно из исходного гауссова пучка с апертурой  $0.7 \text{ mm}$  и мощностью  $22.5 \text{ mW}$  таким образом, чтобы его перетяжка совпадала с серединой



**Рис. 2.** Векторные диаграммы вырожденной анизотропной дифракции Брэгга двукратного типа на РДС в кристалле 1% MgO:LiTaO<sub>3</sub> при температуре  $T_{dgb} < T_i$  ниже изотропной точки для необыкновенного зондирующего пучка (a) и при  $T_{dgu} > T_i$  выше нее для обыкновенного зондирующего пучка (b).

(относительно координаты  $z$ ) входной грани  $y = 0$ . Вектор поляризации лазерного пучка в различных экспериментах ориентировался вдоль кристаллографического направления  $Z$ , в плоскости  $XY$ , или под углом  $45^\circ$  к оси  $Z$ . Для измерения мощностей зондирующего ( $P_0$ ) и дифрагированных пучков  $P_{dr}$  и  $P_{dl}$  (рис. 1) использовался измеритель мощности THORLABS-100D. Качественный вид наблюдаемых картин дифракции в дальней зоне фиксировался на экране  $\mathcal{G}$ , расположенном на расстоянии  $L = 1$  м от выходной грани кристалла  $y = d$ , визуальнo и с помощью цифровой фотокамеры.

Наличие изотропной точки с  $\delta n(T_i) = 0$  при температуре  $T = T_i$  приводит к двум возможным вариантам экспериментального наблюдения вырожденной анизотропной дифракции Брэгга двукратного типа на доменных стенках РДС в кристалле 1% MgO:LiTaO<sub>3</sub>, векторные диаграммы которых иллюстрируются на рис. 2.

Для наблюдения вырожденной дифракции ниже температуры изотропной точки (рис. 2, a) необыкновенный зондирующий пучок с волновым вектором  $\mathbf{k}_e$  должен распространяться в кристалле ортогонально вектору  $\mathbf{K}$ , соответствующему первой пространственной гармонике возмущений доменными стенками РДС компонент диэлектрического тензора  $\Delta\epsilon_{13}(x) = \Delta\epsilon_{31}(x)$ . Экспериментально такое направление распространения зондирующего пучка задавалось путем определения двух угловых положений поворотного столика с кристаллом, при которых наблюдалась изотропная дифракция Брэгга на РДС +1-го и -1-го порядков, как среднее между ними. В этом случае соответствующие обыкновенным волнам левый ( $l$ ) и правый ( $r$ ) максимумы, наблюдаемые при вырожденной дифракции Брэгга двукратного типа при температуре  $T_{dgb} \approx 41.5^\circ\text{C}$ , картина которой представлена на рис. 3, a, расположены симметрично относительно максимума для зондирующего пучка (углы дифракции  $\theta_{ol} = -\theta_{or}$ ), а их интенсивности близки друг к другу ( $P_{dl} \approx P_{dr}$ ).

Для обыкновенного зондирующего пучка, распространяющегося в кристалле в том же направлении, что и в предыдущем случае, при температуре  $T_{dgu} \approx 91.5^\circ\text{C}$  наблюдается вырожденная дифракция Брэгга, описываемая

векторной диаграммой, иллюстрируемой на рис. 2, b. В этом случае на картине дифракции, представленной на рис. 3, b, два симметричных максимума с близкими интенсивностями ( $P_{dl} \approx P_{dr}$ ) соответствуют необыкновенным волнам с векторами  $\mathbf{k}_{er}$  и  $\mathbf{k}_{el}$ , составляющими с вектором  $\mathbf{k}_o$  зондирующей волны углы  $\theta_{er}$  и  $\theta_{el} = -\theta_{er}$  соответственно. Измеренные значения рассматриваемых углов дифракции в воздухе были близки к расчетным значениям

$$\theta_{or}^{air}(T_{dgb}) = \theta_{er}^{air}(T_{dgu}) = \text{asin}(\lambda/\Lambda) = 0.0792 \text{ rad.},$$

соответствующим представленным на рис. 2 векторным диаграммам, для реализации которых необходимо выполнение условий

$$n_o^2(T_{dgb}) - n_e^2(T_{dgb}) = n_e^2(T_{dgu}) - n_o^2(T_{dgu}) = \left(\frac{\lambda}{\Lambda}\right)^2. \quad (1)$$

Таким образом, разность квадратов показателей преломления кристалла 1% MgO:LiTaO<sub>3</sub> на длине волны  $\lambda = 632.8$  nm при температурах  $T_{dgb}$  и  $T_{dgu}$ , соответствующих реализации вырожденной анизотропной дифракции Брэгга двукратного типа на РДС с периодом  $\Lambda = 7.99 \mu\text{m}$ , может быть оценена из экспериментальных данных как

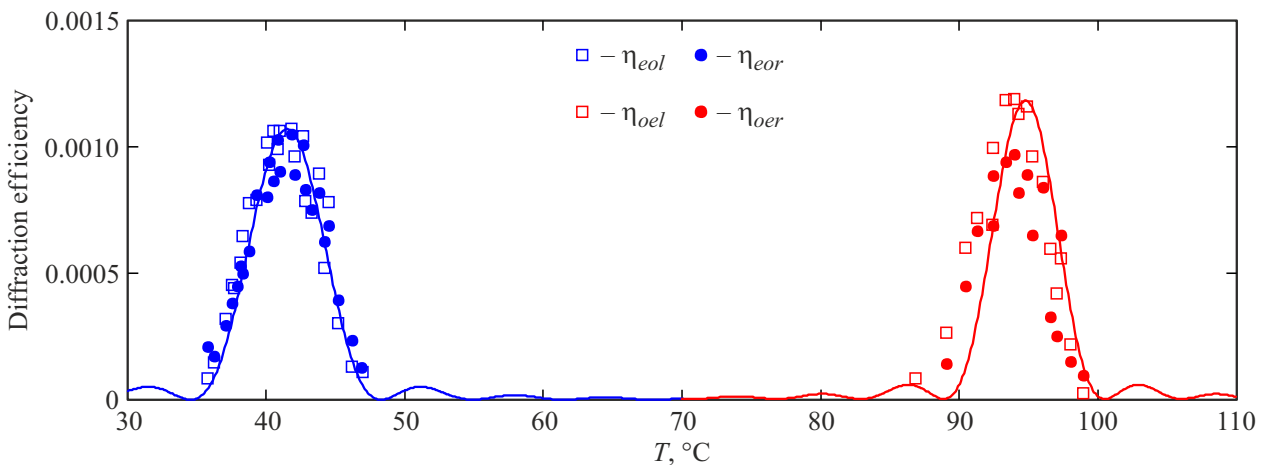
$$n_o^2(T_{dgb}) - n_e^2(T_{dgb}) = n_e^2(T_{dgu}) - n_o^2(T_{dgu}) = 6.27 \cdot 10^{-3}.$$

Экспериментальные зависимости эффективности вырожденной дифракции Брэгга двукратного типа, измеренные при обыкновенном и необыкновенном зондирующих пучках в температурных областях от  $35$  до  $47^\circ\text{C}$  и от  $86$  до  $99^\circ\text{C}$  соответственно, показаны точками на рис. 4.

Для экспериментального определения температурной зависимости двулучепреломления  $\delta n(T) = n_o(T) - n_e(T)$  кристалла 1% MgO:LiTaO<sub>3</sub> с РДС по известной методике [14] вектор поляризации зондирующего пучка ориентировался под углом  $45^\circ$  к оси  $Z$ . После прохождения этого пучка через кристалл с размером  $d = 1.9$  mm вдоль оси  $Y$  и скрещенный анализатор измерителем THORLABS-100D регистрировалась зависимость его



**Рис. 3.** Картины в дальней зоне для вырожденной анизотропной дифракции Брэгга двукратного типа на доменных стенках РДС ( $\Lambda = 7.99 \mu\text{m}$ ) в кристалле  $1\% \text{MgO}:\text{LiTaO}_3$ : (a) — при  $T_{dgb} = 41.5^\circ\text{C}$  и необыкновенном зондирующем пучке, см. векторную диаграмму на рис. 2, a; (b) — при  $T_{dgu} = 91.5^\circ\text{C}$  и обыкновенном зондирующем пучке, см. векторную диаграмму на рис. 2, b.



**Рис. 4.** Температурные зависимости эффективности анизотропной вырожденной дифракции Брэгга двукратного типа на доменных стенках РДС ( $\Lambda = 7.99 \mu\text{m}$ ) в кристалле  $1\% \text{MgO}:\text{LiTaO}_3$  на длине волны  $\Lambda = 632.8 \text{ nm}$ . Экспериментальные точки — для левого ( $\eta_{eol}$  и  $\eta_{oel}$ ) и правого ( $\eta_{eor}$  и  $\eta_{oer}$ ) дифракционных максимумов при необыкновенном ( $eo$ ,  $T < T_i$ ) и обыкновенном ( $oe$ ,  $T > T_i$ ) зондирующих пучках; синяя и красная кривые — расчет по формулам (7), (6) и (10), (9) соответственно.

мощности от температуры, определяемая двулучепреломлением, как

$$P(T) = P_0 \sin^2 \left[ \frac{\pi d}{\lambda} \delta n(T) \right]. \quad (2)$$

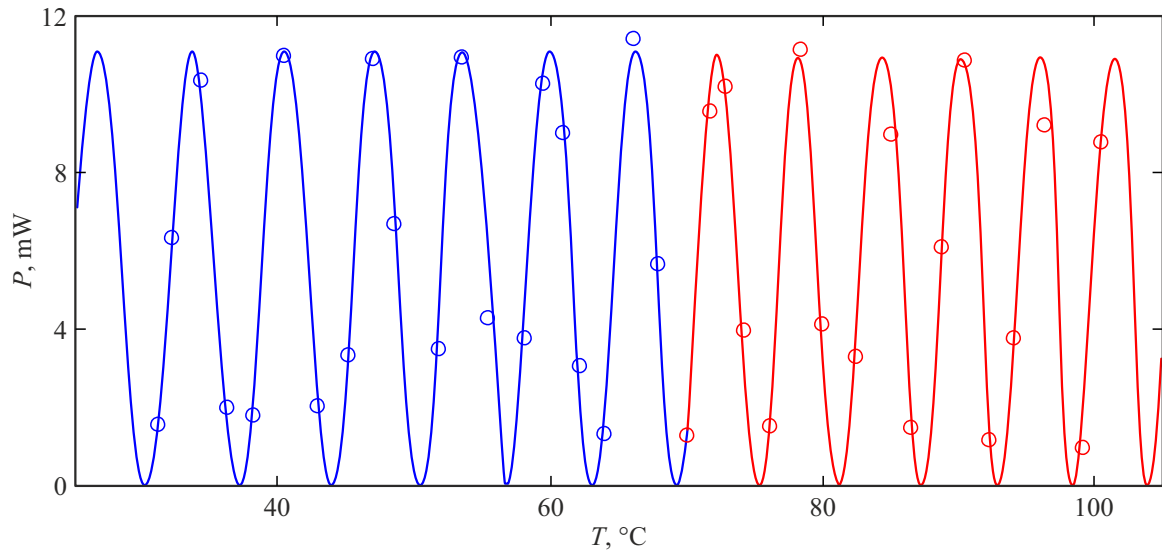
Полученные результаты для диапазона температур от 30 до  $101^\circ\text{C}$  показаны точками на рис. 5.

При аппроксимации данной экспериментальной температурной зависимости использовалось разложение функций  $\delta n_b(T)$  (для  $T \leq T_i$ ) и  $\delta n_u(T)$  (для  $T \geq T_i$ ) в степенной ряд

$$\delta n_{b,u}(T) = A_{1b,1u}(T - T_i) + A_{2b,2u}(T - T_i)^2 + A_{3b,3u}(T - T_i)^3 + A_{4b,4u}(T - T_i)^4 \quad (3)$$

и процедура подгонки по методу наименьших квадратов, позволившая определить температуру изотропной точки как  $T_i = 69.311^\circ\text{C}$ , а также коэффициенты разложения  $A_{ib}$  и  $A_{iu}$ , значения которых приведены в таблице.

Полученное для исследованного образца значение температуры изотропной точки отличается от  $T_i = (98.0 \pm 0.2)^\circ\text{C}$  для нелегированного кристалла  $\text{LiTaO}_3$  с содержанием  $\text{Li}_2\text{O}$ , равным 49.96% mol [14]. Кроме того, расчет по представленным в [15] уравнениям Селлмейера для легированного стехиометрического кристалла  $1\% \text{MgO}:\text{LiTaO}_3$  приводит к температуре  $T_i = 94.17^\circ\text{C}$ . Такие различия могут быть связаны с соответствующими отклонениями от стехиометрии сравниваемых кристаллов. Оценка концентрации  $\text{Li}_2\text{O}$  в исследуемом образце  $1\% \text{MgO}:\text{LiTaO}_3$  с  $T_i = 69.311^\circ\text{C}$ ,



**Рис. 5.** Температурные зависимости для мощности прошедшего через образец с РДС и скрещенный анализатор зондирующего пучка с длиной волны  $\lambda = 632.8 \text{ nm}$ , мощностью  $22.5 \text{ mW}$  и вектором поляризации, ориентированным под углом  $45^\circ$  к оси  $Z$  кристалла. Точки — экспериментальные значения; синяя и красная кривые — расчет по формулам (2) и (3) с использованием приведенных в таблице коэффициентов разложения  $A_{ib}$  и  $A_{iu}$  соответственно.

Коэффициенты разложения  $A_{ib}$  и  $A_{iu}$  для температурной зависимости двулучепреломления  $\delta n_{b,u}(T) = n_o(T) - n_e(T)$  в кристалле 1% MgO:LiTaO<sub>3</sub>, аппроксимируемой формулой (3) ниже и выше температуры изотропной точки соответственно

Коэффициенты разложения для $T \leq T_i$	$A_{1b}, 10^{-5} \text{ K}^{-1}$	$A_{2b}, 10^{-8} \text{ K}^{-2}$	$A_{3b}, 10^{-9} \text{ K}^{-3}$	$A_{4b}, 10^{-11} \text{ K}^{-4}$
		-5.33829	-2.074	1.62589
Коэффициенты разложения для $T \geq T_i$	$A_{1u}, 10^{-5} \text{ K}^{-1}$	$A_{2u}, 10^{-8} \text{ K}^{-2}$	$A_{3u}, 10^{-9} \text{ K}^{-3}$	$A_{4u}, 10^{-11} \text{ K}^{-4}$
	-5.68261	17.62	-11.1076	15.8229

проведенная по соотношениям из работы [14], дает ее значение как 49.79% mol.

Малые значения эффективности вырожденной анизотропной дифракции Брэгга двукратного типа (рис. 4) позволяют воспользоваться при описании ее температурных зависимостей приближением слабой связи [28]. Для температуры кристалла  $T \leq T_i$  падающая необыкновенная световая волна с волновым вектором  $\mathbf{k}_e$  (рис. 2, a) в этом случае будет иметь постоянную амплитуду  $E_{ie}^m$ . С использованием известного подхода [33] уравнения, описывающие эволюцию амплитуд дифрагированных обыкновенных волн  $E_{dro}^m(y)$  и  $E_{dlo}^m(y)$  с векторами  $\mathbf{k}_{or}$  и  $\mathbf{k}_{ol}$  соответственно могут быть получены в виде

$$\frac{dE_{dro}^m}{dy} = -i \frac{\pi}{2\lambda} \frac{\Delta\varepsilon_{13}^{1m}}{n_o \cos \theta_{or}} E_{ie}^m \exp(i\Delta k_r^b y), \quad (4)$$

$$\frac{dE_{dlo}^m}{dy} = -i \frac{\pi}{2\lambda} \frac{\Delta\varepsilon_{13}^{1m}}{n_o \cos \theta_{ol}} E_{ie}^m \exp(i\Delta k_l^b y), \quad (5)$$

где  $\Delta\varepsilon_{13}^{1m}$  — амплитуда первой пространственной гармоники возмущений доменными стенками РДС компоненты диэлектрического тензора, а зависящие от темпера-

туры кристалла волновые расстройки от условий Брэгга при  $\theta_{ol} = -\theta_{or}$ , когда  $\mathbf{k}_e \perp \mathbf{K}$ , определяются следующим выражением:

$$\Delta k_l^b(T) = \Delta k_r^b(T) = \Delta k^b(T) \approx \frac{\pi\lambda}{n_o\Lambda^2} \left[ 1 - 2n_o\delta n_b(T) \frac{\Lambda^2}{\lambda^2} \right]. \quad (6)$$

Таким образом, при симметричной настройке ( $\theta_{ol} = -\theta_{or}$ ,  $\mathbf{k}_e \perp \mathbf{K}$ ) дифракционные эффективности  $\eta_{eol}$  и  $\eta_{eor}$  анизотропной вырожденной дифракции Брэгга двукратного типа для левого и правого максимумов должны быть одинаковыми, и их температурная зависимость для  $T \leq T_i$ , определяемая волновой расстройкой (6), может быть получена из (4) или (5) в виде

$$\eta_{eol}(T) = \eta_{eor}(T) = \eta_{eo}^m \frac{\sin^2[\Delta k^b(T)d_{ef}/2]}{[\Delta k^b(T)d_{ef}/2]^2} \quad (7)$$

со следующим максимальным значением:

$$\eta_{eo}^m = \left( \frac{\pi|\Delta\varepsilon_{13}^{1m}|d_{ef}}{2\lambda n_o \cos \theta_o} \right)^2. \quad (8)$$

Использование данного подхода к анализу температурной зависимости эффективности анизотропной вырожденной дифракции Брэгга двукратного типа на доменных стенках РДС при обыкновенном зондирующем пучке, реализуемой для  $T \geq T_i$  (см. векторную диаграмму на рис. 2, б), позволило получить следующие соотношения:

$$\Delta k_l^u(T) = \Delta k_r^u(T) = \Delta k^u(T) \approx \frac{\pi \lambda}{n_e \Lambda^2} \left[ 1 + 2n_e \delta n_u(T) \frac{\Lambda^2}{\lambda^2} \right], \quad (9)$$

$$\eta_{oel}(T) = \eta_{oer}(T) = \eta_{oe}^m \frac{\sin^2[\Delta k^u(T) d_{ef}/2]}{[\Delta k^u(T) d_{ef}/2]^2}, \quad (10)$$

$$\eta_{oe}^m = \left( \frac{\pi |\Delta \epsilon_{13}^{1m}| d_{ef}}{2 \lambda n_e \cos \theta_e} \right)^2. \quad (11)$$

При расчетах температурных зависимостей эффективности анизотропной вырожденной дифракции Брэгга двукратного типа на доменных стенках РДС, представленных сплошными кривыми на рис. 4, использовались соотношения (7), (6) и (3) для  $T \leq T_i$  и (10), (9) и (3) для  $T \geq T_i$ , где максимальные значения дифракционной эффективности  $\eta_{eo}^m$  и  $\eta_{oe}^m$  принимались равными  $1.07 \cdot 10^{-3}$  и  $1.18 \cdot 10^{-3}$  соответственно. При этом температурной зависимостью обыкновенного и необыкновенного показателей преломления в формулах (6) и (9) пренебрегалось, и они заменялись приближенным значением  $n_o \approx n_e \approx 2.175$ .

Сравнение представленных на рис. 4 экспериментальных данных с расчетными кривыми показывает, что они удовлетворительно согласуются друг с другом в рамках рассмотренной модели анизотропной вырожденной дифракции Брэгга двукратного типа на доменных стенках РДС. Наблюдаемые различия могут быть связаны как с экспериментальными ошибками, так и с погрешностями ориентации волновых векторов зондирующего пучка ( $\mathbf{k}_e$  или  $\mathbf{k}_o$ ) относительно вектора  $\mathbf{K}$  решетки РДС и кристаллографических осей образца. Из найденных величин  $\eta_{eo}^m$  и  $\eta_{oe}^m$  и формул (8) и (11) соответственно амплитуды возмущений были оценены как  $|\Delta \epsilon_{13}^{1m}| = 1.55 \cdot 10^{-5}$  для  $T \leq T_i$  и  $|\Delta \epsilon_{13}^{1m}| = 1.63 \cdot 10^{-5}$  для  $T \geq T_i$ .

Амплитуда первой пространственной гармоники  $\Delta \epsilon_{13}^{1m}$  определяется, во-первых, максимальным значением возмущений  $\Delta \epsilon_{13}^{\max}$ , создаваемых отдельной доменной стенкой РДС вследствие флексоэлектрического эффекта, которое из представленных в [26,27] соотношений может быть получено в виде

$$\Delta \epsilon_{13}^{\max} = n_o^2 n_e^2 \frac{P_S}{2\omega_0} \times \left| \frac{f_{1132}(p_{44}C_{14}^p - p_{41}C_{44}^p) + f_{3131}(p_{41}C_{14}^p - p_{44}C_{66}^p)}{C_{44}^p C_{66}^p - (C_{14}^p)^2} \right|, \quad (12)$$

где  $C_{mn}^p$  и  $p_{mn}$  — модули упругости при постоянной электрической поляризации и упругооптические коэффициенты кристалла в матричных обозначениях;  $P_S$  —

спонтанная поляризация;  $\omega_0$  — половина толщины доменной стенки. Во-вторых, величина  $\Delta \epsilon_{13}^{1m}$  будет зависеть от соотношения между размерами  $h_i$  и  $h_p = \Lambda - h_i$  соответственно для исходной и переполаризованной областей кристалла в РДС. Представим возмущения  $\Delta \epsilon_{13}(x) = \Delta \epsilon_{31}(x)$  на пространственном периоде  $\Lambda$  для исследуемой РДС с  $\omega_0 \ll \Lambda$  с учетом соотношений для отдельных стенок [26,27], разделяющих исходные и переполаризованные области, в следующем виде:

$$\Delta \epsilon_{13}(x) = \Delta \epsilon_{31}(x) = \Delta \epsilon_{13}^{\max} \left\{ \text{ch}^{-2} \left[ \frac{x + \Lambda/4 + \Delta/4}{\omega_0} \right] - \text{ch}^{-2} \left[ \frac{x - \Lambda/4 - \Delta/4}{\omega_0} \right] \right\}, \quad (13)$$

где  $\Delta = h_i - h_p$ . Численные расчеты комплексной амплитуды первой пространственной гармоники с использованием (13) показали, что для значений половины толщины доменной стенки в интервале от 2 до 100 nm она с высокой точностью может быть аппроксимирована как

$$\Delta \epsilon_{13}^{1m} = i \frac{4\omega_0}{\Lambda} \Delta \epsilon_{13}^{\max} \cos \left( \frac{\pi \Delta}{2\Lambda} \right). \quad (14)$$

В этом случае, как следует из (12), амплитуда возмущений  $\Delta \epsilon_{13}^{1m}$  не зависит от неизвестного параметра доменных стенок  $\omega_0$ , и ее модуль можно представить в виде

$$|\Delta \epsilon_{13}^{1m}| = \frac{2n_o^2 n_e^2 P_S}{\Lambda} \cos \left( \frac{\pi \Delta}{2\Lambda} \right) |b_1 f_{1132} + b_2 f_{3131}| \quad (15)$$

со следующими коэффициентами:

$$b_1 = \frac{p_{44}C_{14}^p - p_{41}C_{44}^p}{C_{44}^p C_{66}^p - (C_{14}^p)^2}, \quad b_2 = \frac{p_{41}C_{14}^p - p_{44}C_{66}^p}{C_{44}^p C_{66}^p - (C_{14}^p)^2}. \quad (16)$$

Для оценки возможных значений компонент тензора флексоэлектрической связи  $f_{1132}$  и  $f_{3131}$  исследуемого кристалла 1% MgO:LiTaO<sub>3</sub>, определяющих эффективность наблюдаемой анизотропной дифракции, воспользуемся известными данными по упругооптическим коэффициентам  $p_{41} = 0.028$  и  $p_{44} = 0.028$  [34], позволяющими сделать в (16) замену  $p_{41} = p_{44} = p$ :

$$b_1 = p \frac{C_{14}^p - C_{44}^p}{C_{44}^p C_{66}^p - (C_{14}^p)^2}, \quad b_2 = p \frac{C_{14}^p - C_{66}^p}{C_{44}^p C_{66}^p - (C_{14}^p)^2}. \quad (17)$$

Модули упругости при постоянной электрической поляризации для кристалла танталата лития могут быть рассчитаны по его известным материальным параметрам [35] как

$$C_{14}^p = -2.170 \cdot 10^{10} \text{ N/m}^2, \quad C_{44}^p = 1.152 \cdot 10^{11} \text{ N/m}^2$$

и

$$C_{66}^p = 9.925 \cdot 10^{11} \text{ N/m}^2,$$



что приводит к коэффициентам

$$b_1 = -p \cdot 1.249 \cdot 10^{-11} \text{ м}^2/\text{Н}$$

и

$$b_2 = -p \cdot 1.104 \cdot 10^{-11} \text{ м}^2/\text{Н}.$$

Близкие значения позволяют заменить их в формуле (15) на среднюю величину

$$b_{av} = |b_1 + b_2|/2 \approx p \cdot 1.2 \cdot 10^{-11} \text{ м}^2/\text{Н}$$

и оценить сумму компонент тензора флексоэлектрической связи как

$$|f_{1132} + f_{3131}| \approx \frac{\Lambda |\Delta \epsilon_{13}^{1m}|}{2n_o^2 n_e^2 P_S \cos(\pi \Delta / 2\Lambda) b_{av}}. \quad (18)$$

Используя величину спонтанной поляризации  $P_S = 0.5 \text{ С/м}^2$  [36] и другие приведенные выше материальные параметры танталата лития, а также полученные экспериментальные данные, находим, что  $|f_{1132} + f_{3131}| \approx 18 \text{ В}$ . Можно отметить, что эти данные не противоречат известным теоретическим оценкам для компонент тензоров флексоэлектрической связи  $f_{ijkl} \sim 1-10 \text{ В}$  [37,38].

Таким образом, наличие изотропной точки в стехиометрическом кристалле 1%MgO:LiTaO<sub>3</sub> позволяет реализовать эффекты вырожденной анизотропной дифракции на сформированной в нем РДС при необыкновенном (для  $T \leq T_i$ ) и обыкновенном ( $T \geq T_i$ ) зондирующих пучках. В исследованном образце для РДС с ненаклонными стенками Y-типа с пространственным периодом  $\Lambda = 7.99 \mu\text{м}$  максимумы эффективности  $\eta_{eo}^m \approx 1.1 \cdot 10^{-3}$  и  $\eta_{oe}^m \approx 1.2 \cdot 10^{-3}$  вырожденной анизотропной дифракции двукратного типа для зондирующего пучка с длиной волны  $\lambda = 632.8 \text{ нм}$  наблюдались при температурах  $T_{dgb} = 41.5^\circ\text{С}$  и  $T_{dgu} = 91.5^\circ\text{С}$  соответственно, при которых разность квадратов показателей преломления может быть оценена как

$$n_o^2(T_{dgb}) - n_e^2(T_{dgb}) = n_e^2(T_{dgu}) - n_o^2(T_{dgu}) = 6.27 \cdot 10^{-3}.$$

Проведенные на основе приближения слабой связи для эффективности двукратной вырожденной анизотропной дифракции Брэгга и экспериментальных данных для  $\eta_{eo}^m$  и  $\eta_{oe}^m$  расчеты позволили получить оценку  $|f_{1132} + f_{3131}| \approx 18 \text{ В}$  для компонент тензора флексоэлектрической связи исследованного образца танталата лития. Из анализа экспериментальных температурных зависимостей для мощности прошедшего через кристалл 1% MgO:LiTaO<sub>3</sub> и скрещенный анализатор зондирующего пучка с вектором поляризации, ориентированным под углом  $45^\circ$  к оси Z, определена температура изотропной точки  $T_i = 69.31^\circ\text{С}$  и аппроксимировано степенными разложениями поведение двулучепреломления  $\delta n_{b,u}(T) = n_o(T) - n_e(T)$  для диапазонов  $30^\circ\text{С} < T \leq T_i$  и  $T_i \leq T < 110^\circ\text{С}$  соответственно.

## Финансирование работы

Работа выполнена в рамках Госзадания Министерства науки и высшего образования Российской Федерации на 2023–2025 гг. (задание FEWM-2023-0012).

## Конфликт интересов

Авторы заявляют об отсутствии конфликта интересов.

## Список литературы

- [1] P. Ferrari, S. Grilli, P. DeNatale. *Ferroelectric Crystals for Photonic Applications* (Springer-Verlag, Berlin–Heidelberg, 2014). DOI: 10.1007/978-3-642-41086-4
- [2] F.J. Kontur, I. Dajani, Y. Lu, R.J. Knize. *Optics Express*, **15**, 12882 (2007). DOI: 10.1364/OE.15.01.012882
- [3] С.П. Ковалев, Г.Х. Китаева. *Письма в ЖЭТФ*, **94**, 95 (2011). DOI: 10.1134/S0021364011140074
- [4] А.Н. Тучак, Г.Н. Гольцман, Г.Х. Китаева, А.Н. Пенин, С.В. Селиверстов, М.И. Финкель, А.В. Шепелев, П.В. Якунин. *Письма в ЖЭТФ*, **96**, 97 (2012). DOI: 10.31857/S1234567820170048
- [5] L.A. Rios, C.E. Minor, N.A. Barboza, R.S. Cudney. *Opt. Express*, **26**, 17591 (2018). DOI: 10.1364/OE.26.017591
- [6] T. Ding, Y. Zheng, X. Chen. *Opt. Lett.*, **44**, 1524 (2019). DOI: 10.1364/OL.44.001524
- [7] П.А. Прудковский. *Письма в ЖЭТФ*, **111**, 494 (2020). DOI: 10.31857/S123456782008011X
- [8] П.А. Прудковский. *Письма в ЖЭТФ*, **116**, 667 (2022). DOI: 10.31857/S1234567822220049
- [9] B. Nandy, S.C. Kumar, M. Ebrahim-Zadeh. *Optics Express*, **30**, 16340 (2022). DOI: 10.1364/OE.456023
- [10] W. Yao, L. Deng, Y. Tian, A. Chang, P. Wang, J. Chen, H. Tan, J. Gao. *Optics Continuum*, **1**, 547 (2022). DOI: 10.1364/OPTECON.445930
- [11] I. Mhaouech, V. Coda, G. Montemezzani, M. Chauvet, L. Guilbert. *Opt. Lett.*, **41**, 4174 (2016). DOI: 10.1364/OL.41.004174
- [12] S.M. Shandarov, E.N. Savchenkov, M.V. Borodin, A.E. Mandel, A.R. Akhmatkhanov, V.Ya. Shur. *Ferroelectrics*, **542**, 58 (2019). DOI: 10.1080/00150193.2019.1574663
- [13] R.L. Byer, J. Nonlinear. *Opt. Phys. Mater.*, **6**, 549 (1997). DOI: 10.1142/S021886359700040X
- [14] C. Bäumer, D. Berben, K. Buse, H. Hesse, J. Imbrock. *Appl. Phys. Lett.*, **82**, 2248 (2003). DOI: 10.1063/1.1566100
- [15] I. Shoji, Y. Iwamoto, Y. Kagami, Y. Furukawa. *Novel Optical Materials and Applications* (Optica Publishing Group, 2022), NoTh2E.3. DOI: 10.1364/noma.2022.noth2e.3
- [16] W. Wen-Le, L. You-Wen, Z. Xiao-Qi. *Chinese Phys. Lett.*, **25**, 4303 (2008). DOI: 10.1088/0256-307X/25/12/033
- [17] H.H. Lim, S. Kurimura, T. Katagai, I. Shoji. *Jap. J. Appl. Phys.*, **52**, 032601 (2013). DOI: 10.7567/JJAP.52.032601
- [18] А.Л. Александровский, О.А. Глико, И.И. Наумова, В.И. Прялкин. *Квантовая электроника*, **23**, 657 (1996). DOI: 10.1070/QE1996v026n07ABEH000743
- [19] S.M. Shandarov, A.E. Mandel, T.M. Akyibaev, M.V. Borodin, E.N. Savchenkov, S.V. Smirnov, A.R. Akhmatkhanov, V.Ya. Shur. *J. of Physics: Conf. Series*, **867**, 012017 (2017). DOI: 10.1088/1742-6596/867/1/012017

- [20] С.М. Шандаров, А.Е. Мандель, Е.Н. Савченков, М.В. Бородин, С.В. Смирнов, А.Р. Атматханов, В.Я. Шур. *Голография. Наука и практика: XVI международная конференция HOLOEXPO 2017: Тезисы докладов* (МГТУ им. Н.Э. Баумана, М., 2017), с. 203.
- [21] Е.Н. Савченков, С.М. Шандаров, С.В. Смирнов, А.А. Есин, А.Р. Ахматханов, В.Я. Шур. *Письма в ЖЭТФ*, **110**, 165 (2019). DOI: 10.1134/S0370274X19150050
- [22] Д.А. Губинская, М.А. Федянина, Е.Н. Савченков. *XX Всероссийский молодежный Самарский конкурс-конференция научных работ по оптике и лазерной физике, посвященный 100-летию со дня рождения Н.Г. Басова: сборник трудов* (Тривант, М., 2022), с. 308.
- [23] Е.Н. Савченков, С.М. Шандаров, А.В. Дубиков, Д.Е. Кузьмич, М.А. Федянина, Д.А. Губинская, В.Я. Шур, А.Р. Ахматханов, М.А. Чувакова. *XI Международная конференция по фотонике и информационной оптике. Сборник научных трудов* (НИЯУ МИФИ М., 2022), с. 60.
- [24] В.А. Жирнов. *ЖЭТФ*, **35**, 1175 (1958).
- [25] E.A. Eliseev, A.N. Morozovska, M.D. Glinchuk, R. Blinc. *Phys. Rev. B*, **79**, 165433 (2009). DOI: 10.1103/PhysRevB.79.165433
- [26] S.M. Shandarov, E.N. Savchenkov, N.I. Burimov, A.R. Akhmatkhanov, V.Ya. Shur. *Laser Physics*, **30**, 025401 (2020). DOI: 10.1088/1555-6611/ab5858
- [27] S.M. Shandarov, A.E. Mandel, S.V. Smirnov, T.M. Akylbaev, M.V. Borodin, A.R. Akhmatkhanov, V.Ya. Shur. *Ferroelectrics*, **496** (1), 134 (2016). DOI: 10.1080/00150193.2016.1157439
- [28] В.И. Балакший, В.Н. Парыгин, Л.Е. Чирков. *Физические основы акустооптики* (Радио и связь, М., 1985).
- [29] J. Xu, R. Stroud. *Acousto-optic devices: principles, design, and applications* (Wiley, 1992).
- [30] A.W. Warner, D.L. White, W.A. Bonner. *J. Appl. Phys.*, **43**, 4489 (1972). DOI: 10.1063/1.1660950
- [31] В.Б. Волошинов, В.Н. Парыгин, Л.Е. Чирков. *Вестн. Моск. ун-та. Сер. 3. Физ., астр.*, **17**, 305 (1976).
- [32] V.Ya. Shur, A.R. Akhmatkhanov, I.S. Baturin. *Appl. Phys. Rev.*, **2**, 040604 (2015). DOI: 10.1063/1.4928591
- [33] Л.Н. Магдич, В.Я. Молчанов. *Акустооптические устройства и их применение* (Советское радио, М., 1978).
- [34] Л.П. Авакянц, Д.Ф. Киселев, Н.Н. Щитов. *ФТТ*, **18**, 2129 (1976).
- [35] R.T. Smith, F.S. Welsh. *J. Appl. Phys.*, **42**, 2219 (1971).
- [36] A.M. Glass. *Phys. Rev.*, **172**, 564 (1968).
- [37] P. Zubko, G. Catalan, A.K. Tagantsev. *Annu. Rev. Mater. Res.*, **43**, 387 (2013). DOI: 10.1146/annurev-matsci-071312-121634
- [38] P.V. Yudin, A.K. Tagantsev. *Nanotechnology*, **24**, 432001 (2013). DOI: 10.1088/0957-4484/24/43/432001